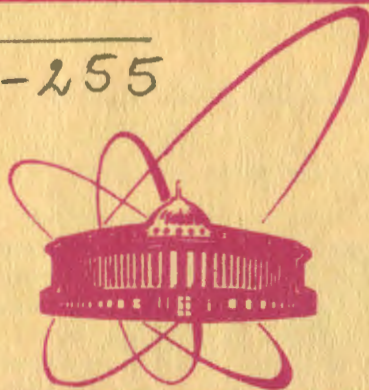


Д-255



объединенный  
институт  
ядерных  
исследований  
дубна

2379 / 2-81

18/5-81

1-81-82

П.А.Девенски,<sup>1</sup> Н.К.Жидков, В.Й.Заячки,<sup>1</sup>  
Х.М.Каназирски,<sup>1</sup> В.А.Никитин, М.Д.Трайкова,<sup>1</sup>  
М.Шавловски <sup>2</sup>

УПРУГОЕ d-d РАССЕЯНИЕ НА МАЛЫЕ УГЛЫ  
ПРИ ИМПУЛЬСЕ 4,6 ГэВ/с

Направлено в ЯФ

<sup>1</sup> Высший химико-технологический институт, София.

<sup>2</sup> Институт ядерных исследований, Варшава.

1981

## 1. МЕТОДИКА ЭКСПЕРИМЕНТА

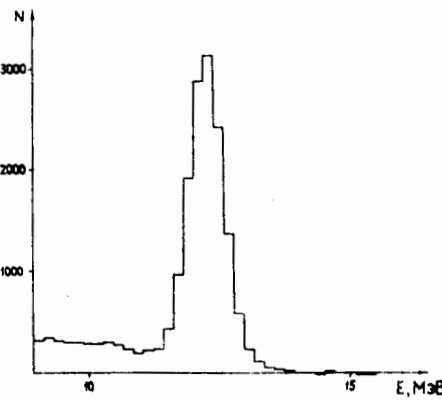
Эксперимент выполнен на синхрофазотроне ОИЯИ методом много-кратного прохождения внутреннего пучка ускоренных дейtronов через тонкую мишень <sup>/4/</sup> из дейтерированного полиэтилена толщиной 2,2 мкм. В эксперименте регистрировались энергетические спектры частиц отдачи с помощью семи  $\Delta E - E$  телескопов, расположенных на расстоянии 3,3 м от мишени под углами, близкими к  $90^\circ$  по отношению к направлению пучка. Каждый телескоп состоял из двух кремниевых полупроводниковых детекторов типа  $Si(p)$  <sup>/5/</sup>. Детекторы имели толщину 38-3700 мкм, площадь  $\sim 1 \text{ см}^2$  и энергетическое разрешение 30-50 кэВ. Частицы, прошедшие первый, тонкий  $\Delta E$ -детектор и остановившиеся во втором, толстом  $E$ -детекторе телескопа имеют энергию, лежащую в определенном интервале. Границы этого интервала для каждого вида частиц определяются толщиной  $\Delta E$ -детектора и суммой толщин  $\Delta E, E$ -детекторов соответственно. Толщины применяемых детекторов определяют возможности методики по интервалу квадратов переданных 4-импульсов.

Применение телескопов для идентификации сорта частиц позволило отделить дейтроны от других частиц, что значительно улучшило отношение эффекта к фону. Статистика набиралась при различных угловых положениях телескопов. В качестве мониторов использовались три сцинтилляционных телескопа, направленных на мишень.

Электронная аппаратура подробно описана в <sup>/6/</sup>.

Наряду с эффектом упругого  $d-d$  рассеяния телескопы регистрировали фон, который в основном обязан взаимодействию пучка с ядрами углерода в мишени. Для измерения фона в энергетическом спектре под упругим пиком дейтронов телескопы периодически сдвигались в "фоновую" позицию, отстоящую на  $2^\circ$  от "рабочей" позиции в сторону увеличения угла вылета частиц отдачи. После мониторирования "фоновый" спектр вычитался из "рабочего" спектра, полученный разностный спектр рис. 1/ в пределах ошибок не содержал фоновых событий, обусловленных взаимодействием пучка с ядрами углерода мишени, под упругим пиком. Вычитание этого фона контролировалось по части разностного спектра, расположенной справа от упругого пика. При правильном вычитании число событий в этой части близко к нулю. Перед упругим пиком в разностном спектре имеется фон, который обязан реакции  $d-d$ , идущей с развалом дейтронов пучка. Для

Рис.1. Энергетический спектр дейtronов отдачи после вычитания фона от фрагментации ядер углерода в мишени.



вычитания этого фона и вычисления числа упругих событий в пике энергетический спектр дейtronов трансформировался в импульсный спектр, в котором упругий пик имеет симметричную форму. После введения поправки, связанной с зависимостью дифференциального сечения от  $t$ , импульсный спектр аппроксимировался выражением

$$\frac{\Delta N'}{\Delta p} = \frac{N}{\sqrt{2\pi\sigma^2}} e^{-\frac{(p-p_0)^2}{2\sigma^2}} + c_1(p-p_1) + c_2(p-p_1)^2, \quad /1/$$

где  $\Delta N'$  - число событий в импульсном интервале  $(p-\Delta p/2, p+\Delta p/2)$ ,  $N$  - число упругих d-d событий в пике,  $p_0$  - импульс, соответствующий центру пика,  $\sigma$  - дисперсия. Таким образом, симметричный упругий пик аппроксимировался распределением Гаусса, а фон - многочленом второй степени. Методом наименьших квадратов определялись параметры  $N$ ,  $\sigma^2$ ,  $p_0$ ,  $p_1$ ,  $c_1$ ,  $c_2$ .

В работе <sup>7/</sup> показано, что потери регистрируемых дейtronов из-за их ядерного взаимодействия с веществом детектора малы. Максимальная относительная потеря при  $|t|=0,146/\text{ГэВ}/\text{с}^2$  составляет  $\leq 3\%$ . Разрешающая способность эксперимента по квадрату переданного 4-импульса  $\Delta t/t \approx 2\%$  и определяется в основном ошибками энергетической калибровки детекторов.

## 2. ЭКСПЕРИМЕНТАЛЬНЫЕ РЕЗУЛЬТАТЫ

На основе обработки экспериментальных данных получены относительные дифференциальные сечения упругого d-d рассеяния при импульсе ускоренных дейtronов 4,6 ГэВ/с. Эти сечения с помощью нормировочного множителя  $L$  аппроксимировались формулой Бете <sup>11/</sup>:

$$\frac{d\sigma}{dt} = L \cdot \frac{\pi}{p^2} \left| \frac{2p}{t} e^{i\phi} G_d^2(t) + f_{dd}(t) \right|^2. \quad /2/$$

Здесь  $p$  - импульс налетающего дейтрана в л.с.,  $p=(\vec{p}^2)^{1/2}$ ;  $t$  - квадрат переданного 4-импульса,  $n=z_d^2/137$ ;  $z_d$  - зарядовое число,  $\beta$  - скорость налетающего дейтрана в л.с.;  $\phi=2n \ln(1.06/\alpha\sqrt{|t|})$ ;

$$G_d(t) = 0.34 e^{141.5 \cdot t} + 0.58 e^{26.1 \cdot t} + 0.08 e^{15.5 \cdot t} -$$

электромагнитный формфактор дейтрана<sup>8/</sup>;  $f_{dd}$  - ядерная амплитуда упругого d-d рассеяния:

$$f_{dd}(t) = \frac{i p}{4\pi} \sigma_{dd} (1 - i a_{dd}) \exp(b_{dd} \cdot t/2),$$

где  $b_{dd}$  - параметр наклона дифракционного конуса,  $a_{dd}$  - отношение реальной части амплитуды к минимуму. Для полного сечения взято значение  $\sigma_{dd} = 122 \pm 7$  мб <sup>8/</sup>.

Параметр  $a$  определяется размерами области ядерного взаимодействия и электромагнитными размерами дейтрана <sup>9/</sup>. Так как в области кулон-ядерной интерференции электромагнитный формфактор дейтрана  $G_d(t) = \exp(12.95 \cdot t)^{1/10}$  и  $b_{dd} = 54.9$  (из настоящего эксперимента), то

$$a = (12.95 + 12.95 + 54.9/2)^{1/2} = 7.3 (\text{ГэВ}/\text{с})^{-1} = 1.44 \text{ фм.}$$

Таблица  
Дифференциальные сечения упругого d-d рассеяния

$ t $ $/\text{ГэВ}/\text{с}^2$	$d\sigma/dt$ $\text{мб}/\text{ГэВ}/\text{с}^2$	$ t $ $/\text{ГэВ}/\text{с}^2$	$d\sigma/dt$ $\text{мб}/\text{ГэВ}/\text{с}^2$
0,0275	232 $\pm$ 15	0,0646	24,6 $\pm$ 1,8
0,0287	216 $\pm$ 16	0,0699	19,8 $\pm$ 1,1
0,0300	205 $\pm$ 14	0,0764	14,7 $\pm$ 1,3
0,0320	167 $\pm$ 10	0,0821	10,3 $\pm$ 0,7
0,0353	136 $\pm$ 7	0,0952	5,1 $\pm$ 0,4
0,0381	107 $\pm$ 7	0,1050	2,7 $\pm$ 0,9
0,0411	84,4 $\pm$ 5,2	0,1140	2,5 $\pm$ 0,5
0,0456	69,3 $\pm$ 4,6	0,1190	1,5 $\pm$ 0,4
0,0485	67,6 $\pm$ 6,3	0,1230	1,6 $\pm$ 0,5
0,0518	54,4 $\pm$ 3,4	0,1260	1,3 $\pm$ 0,2
0,0539	44,0 $\pm$ 2,4	0,1300	0,78 $\pm$ 0,13
0,0552	40,6 $\pm$ 2,1	0,1460	0,32 $\pm$ 0,10
0,0605	29,3 $\pm$ 1,6		

Методом наименьших квадратов определены нормировочный множитель  $L$  и параметр наклона  $b_{dd}$ . Для величины  $a_{dd}$  фиксировалось значение  $a_{dd} = -0,35$ , при этом получилось минимальное значение  $\chi^2 = 37/23$ . Для параметра наклона получено значение  $b_{dd} = 54,9 \pm 0,8 / \text{ГэВ}/c^{-2}$ .

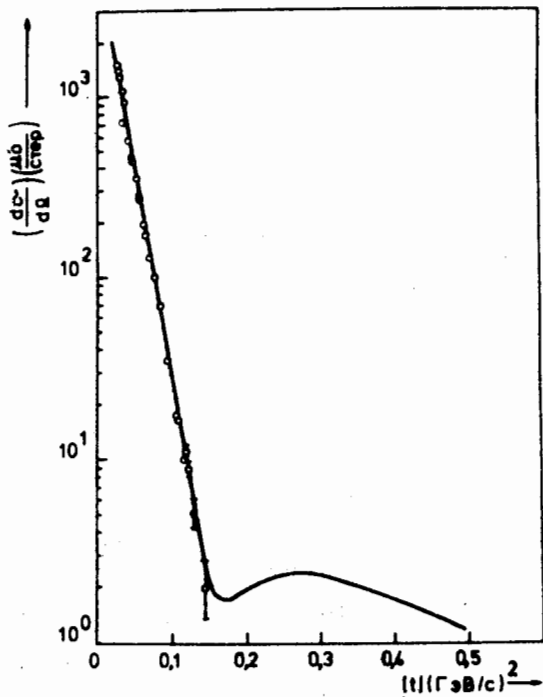


Рис.2. Дифференциальные сечения упругого  $d-d$  рассеяния / в лаб. системе/. о - результаты данной работы. Сплошная кривая - теоретический расчет по модели Глаубера при импульсе  $4,42 \text{ ГэВ}/c^{3/2}$ .

Относительные дифференциальные сечения с помощью нормировочного множителя приведены к абсолютной шкале, они представлены в таблице. Указанные ошибки являются суммой статистических и систематических ошибок эксперимента и ошибок, обусловленных вычитанием фона с использово-

ванием аппроксимации импульсных спектров выражением /1/.

Теоретическое исследование упругого ядерного  $d-d$  рассеяния в рамках модели Глаубера проведено в работе /3/. В этой работе получены формулы для дифференциального сечения без учета и с учетом квадрупольного момента дейтрона. Вычисленная в работе /3/ теоретическая кривая с учетом квадрупольного момента дейтрона для импульса  $4,42 \text{ ГэВ}/c$  в л.с. приведена на рис. 2, здесь же даны и экспериментальные значения, полученные в настоящей работе. Теоретическая кривая не учитывает вклада от кулоновского взаимодействия, но в области  $|t| > 0,03 / \text{ГэВ}/c^{3/2}$  он мал и его величина не превышает экспериментальных ошибок.

Из рис. 2 видно, что в пределах экспериментальных ошибок модель Глаубера хорошо описывает упругое  $d-d$  рассеяние в исследованном интервале по квадрату переданного 4-импульса.

## ЛИТЕРАТУРА

1. Bethe H. Ann.Phys., 1958, 3, p. 190.
2. Franco V. et al. Phys.Rev., 1975, C12, p. 225.
3. Alberi G. et al. Nucl.Phys., 1968, B17, p. 1376. 621
4. Никитин В.А. и др. ЖЭТФ, 1964, 46, с. 1608.
5. Avdeichikov V.V. Nucl.Instr. and Meth., 1978, 155, p.125.
6. Будилов В.А. и др. ОИЯИ, 13-8898, Дубна, 1975.
7. Авдейчиков В.В. и др. ЯФ, 1979, 30, с. 610.
8. Debaissieux J. et al. Nucl.Phys., 1965, 70, p. 603.
9. Geoffrey B. West et al. Phys.Rev., 1968, 172, p. 1413.
10. Золин Л.С. и др. ЯФ, 1973, 18, с. 55.

Рукопись поступила в издательский отдел  
4 февраля 1981 года.